

P.B. ПРОТАСОВ, ассистент каф. ТММ и САПР НТУ "ХПИ";
A.B. УСТИНЕНКО, к.т.н., доц., старший научный сотрудник каф. ТММ и САПР

ИССЛЕДОВАНИЕ ОБЛАСТИ РАЦИОНАЛЬНОГО СУЩЕСТВОВАНИЯ ЭВОЛЮТНОГО ЗАЦЕПЛЕНИЯ

Рассмотрена зависимость между параметрами исходного контура эволютного зацепления (k , a) и основными качественными показателями. Построены области, ограничивающие выбор k и a для передач с определенными числами зубьев. Определены зоны с низкими качественными показателями и границы существования работоспособных передач. Анализ полученных результатов позволяет определить тенденции к назначению параметров исходного контура для синтеза новых рациональных эволютных передач.

Ключевые слова: эволютное зацепление, качественные показатели, блокирующий контур.

Введение. Актуальность задачи. Повышение контактной прочности зубчатых передач является актуальной задачей современного машиностроения.

Новые эволютные передачи с выпукло-вогнутым контактом (ВВК), предложенные А.И. Павловым [1], имеют повышенную нагрузочную способность, однако область существования этих передач с рациональными качественными показателями и соответствующие им геометрические параметры подробно не изучены. Исследование этой области является актуальной научно-практической задачей.

Постановка задачи. При синтезе эволютной передачи в дифференциальном уравнении исходного контура [1, 2]

$$y''_1 = y'_1(1 + y'^2) / (-ky'_1 + x_1), \quad (1)$$

необходимо задаться начальными условиями:

- коэффициент разновидности эволютной передачи k ;
- угол профиля исходного контура (угол зацепления) в полюсе a .

Варьируя эти параметры в широком диапазоне, можно получить передачи с различными качественными показателями.

Рассмотренные ранее [3] рекомендации относительно области рационального существования эволютных передач очень часто является противоположными, т.к. различные варианты неравноценны по своим качественным показателям, в первую очередь – по геометрическим. Это существенно затрудняет выбор проектировщиком параметров исходного контура.

Целью работы является исследование области существования рациональных параметров исходного эволютного контура и разработка методики их выбора. За основу возьмем подход, предложенный в конце 50-х годов XX века И.А. Болотовским для эвольвентных цилиндрических передач, заключающийся в построении так называемого блокирующего контура [4].

Содержание исследований. Зависимость геометрических параметров и качественных показателей передачи от параметров исходного контура наиболее наглядно можно показать с помощью кривых, построенных для каждого конкретного сочетания чисел зубьев z_1 и z_2 в системе координат k и a . В этой системе координат каждая зубчатая пара с определенными параметрами исходного контура изобразится единственной точкой. Бесчисленное множество

Таблица 1 – Коэффициенты уравнений исходных контуров эволютной передачи

α/k	C_1	C_2	C_3
15/2	0,259779	0,0134558	-0,0218818
15/3	0,184264	0,0129465	-0,0288067
15/4	0,141111	0,0101687	-0,0220939
15/5	0,114641	0,008447	-0,0179301
16/2	0,266753	0,0136584	-0,0222346
16/3	0,188454	0,0131191	-0,029323
16/4	0,144017	0,0102959	-0,0223966
16/5	0,116836	0,0085443	-0,0181617
18/2	0,281274	0,0140689	-0,0229508
18/3	0,197135	0,0134873	-0,0301111
18/4	0,150039	0,0105609	-0,0230285
18/5	0,121391	0,0087487	-0,0186493
20/2	0,296802	0,0144931	-0,0236933
20/3	0,206366	0,0138768	-0,031043
20/4	0,156443	0,0108450	-0,0237076
20/5	0,126246	0,0089702	-0,0191787

Таблица 2 – Коэффициент перекрытия ε_a

α/k	2	3	4	5
15	0,97	1,14	1,24	1,33
16	0,85	0,89	0,99	1,07
18	0,85	0,89	0,97	1,04
20	0,86	0,89	0,95	1,02

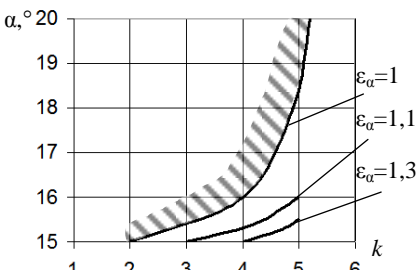


Рисунок 1 – Блокирующий контур по коэффициенту перекрытия ε_a

Линия, ограничивающая зону с коэффициентом перекрытия $\varepsilon_a > 1$.
Коэффициент перекрытия зубчатой передачи определим как отношение угла поворота шестерни ψ_e к шагу зацепления $P=2\pi/z_1$ [5],

$$\varepsilon_a = \psi_e / P, \quad (3)$$

где ψ_e состоит из суммы углов по фазам зацепления, $\psi_e = \psi_z + \psi_a + \psi_P$.

В таблице 2 приведены значения коэффициента перекрытия для рассматриваемых исходных контуров, а на рисунке 1 построен график, ограничивающий зону допустимых значений k и α .

Точек координатного поля соответствует множеству вариантов передач, которые можно принять при одном и том же значении чисел зубьев, варьируя только параметры исходного контура.

Примем в рассмотрение геометрические параметры и качественные показатели:

- коэффициент перекрытия ε_a больше 1 ($\varepsilon_a > 1$);

- отсутствие интерференции зубьев;

- отсутствие заострения вершин зубьев ($s_a^* \geq 0,3m$);

- сохранение радиального зазора больше предельного значения $c=c^* \cdot m \geq 0,2m$;

- уменьшение области двояковыпуклого контакта (ДВК) в околополюсной зоне $h_{\text{ДВК}}^* = h_{\text{ДВК}} \cdot m$.

Предельным значениям каждого из этих факторов в системе координат k и α соответствует определенная линия, отделяющая зону допустимых значений k и α от зоны недопустимых. Форма и расположение этих линий зависят от основных параметров, определяющих геометрию зубчатой передачи.

Далее основные линии, ограничивающие выбор параметров исходного контура k и α по вышеуказанным характеристикам.

Уравнение исходного контура в общем виде имеет вид:

$$x_0(x_0) = C_1 x_0 + C_2 x_0^2 + C_3 x_0^3 + \dots + C_n x_0^n. \quad (2)$$

Параметры исследуемых исходных контуров приведены в таблице 1 [2].

Дальнейшие расчеты выполнены для зубчатой пары с параметрами: числа зубьев шестерни и колеса $z_1=40$, $z_2=80$; модуль $m=10\text{мм}$.

чивающий выбор параметров исходного контура эвольвентной передачи по коэффициенту перекрытия.

Линия, ограничивающая зону с коэффициентом радиального зазора $c^* \geq 0,2$.

Определим связь между параметрами эвольвентного исходного контура и величиной радиального зазора. Рабочая часть профиля зуба рейки и прямая вершина сопрягаются радиусом $\rho_f = m \cdot c^* / (1 - \sin \alpha_i)$, где α_i – угол, образуемый касательной к рабочему профилю рейки, проведенной из крайней нижней точки профиля N , имеющей координаты $N(x_0 = -1, y_0|_{x_0=-1})$. При этом каждому эвольвентному профилю будет соответствовать свой угол α_i , который определяется по формуле [6]

$$\alpha_i = (\arctg(C_1 + 2C_2 \cdot (-1) + 3C_3 \cdot (-1)^2 + \dots + nC_n \cdot (-1)^{n-1}) \cdot 180/\pi). \quad (4)$$

Максимальный радиус полностью скругленной впадины определим по формуле

$$\rho_{f \max} = x_1|_{x_0=-1} / \cos \alpha_i. \quad (5)$$

В таблице 3 приведены значения коэффициента радиального зазора для рассматриваемых исходных контуров, а на рисунке 2 построен график, ограничивающий выбор параметров исходного контура эвольвентной передачи по коэффициенту радиального зазора c^* .

Линия, ограничивающая зону с областью ДВК $h_{\text{ДВК}}$.

Для определения кривизны профиля зуба использовалась известная формула дифференциальной геометрии (случай параметрического задания кривой) [7],

$$\chi(x_0) = \frac{y_2''(x_0) \cdot x_2'(x_0) - x_2''(x_0) \cdot y_2'(x_0)}{(x_2'^2(x_0) + y_2'^2(x_0))^{3/2}}. \quad (7)$$

Как известно [1, 7], в районе полюса имеет место зона ДВК с низкой контактной прочностью. В таблице 4 приведены значения коэффициента высоты этой зоны для рассматриваемых исходных контуров, а на рисунке 3 построен график, ограничивающий выбор параметров исходного контура эвольвентной передачи по коэффициенту высоты зоны ДВК $h_{\text{ДВК}}$.

Таблица 3 – Коэффициент радиального зазора c^*

α_i	2	3	4	5
15	0,113	0,184	0,222	0,248
16	0,1	0,168	0,205	0,231
18	0,074	0,137	0,173	0,197
20	0,05	0,109	0,142	0,165

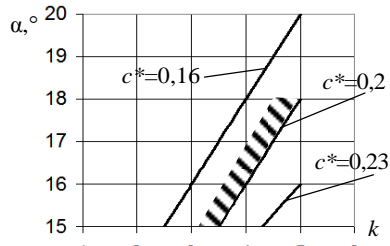


Рисунок 2 – Блокирующий контур по коэффициенту радиального зазора c^*

Таблица 4 – Коэффициент высоты зоны ДВК $h_{\text{ДВК}}^*$

k	2	3	4	5
15	0,19	0,26	0,33	0,4
16	0,18	0,25	0,31	0,38
18	0,17	0,23	0,29	0,35
20	0,15	0,21	0,26	0,32

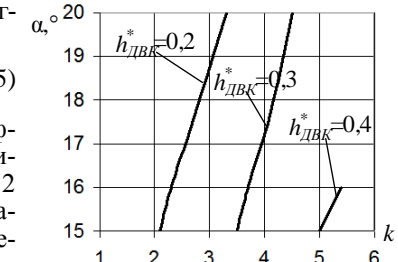


Рисунок 3 – Блокирующий контур по коэффициенту высоты зоны ДВК $h_{\text{ДВК}}^*$

Блокирующий контур для эвольвутной передачи. Собрав воедино рассмотренные выше ограничения и тенденции к изменениям свойств эвольвутного зацепления в зависимости от k и α , построим блокирующий контур, который будет отражать область рационального существования эвольвутного зацепления для конкретных значений чисел зубьев z_1 и z_2 .

На рисунке 4 представлен график зависимости между начальными условиями для синтеза исходного контура (k и α) и коэффициентами: перекрытия ε_a , радиального зазора c^* , величины зоны ДВК $h_{\text{ДВК}}^*$. На графике отсутствуют линии, ограничивающие выбор k и α по условиям отсутствия интерференции зубьев, так как на данном этапе этот вопрос находится в стадии изучения. Что касается заострения зубьев, то соответствующая линия для рассмотренных исходных контуров лежит вне области рационального существования.

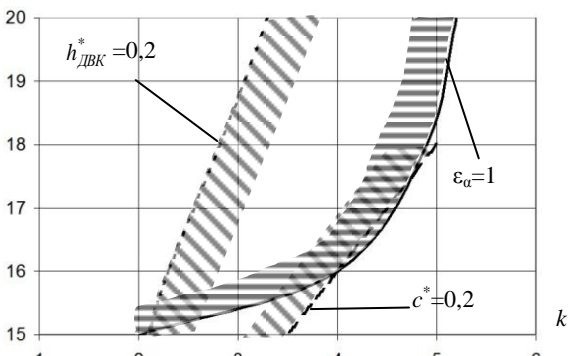


Рисунок 4 – Область рационального существования эвольвутной передачи с параметрами $z_1=40, z_2=80, m=10\text{мм}$

Выводы:

1. Для имеющихся исходных контуров эвольвутного зацепления определены основные качественные показатели: коэффициенты перекрытия ε_a , радиального зазора c^* и высоты зоны ДВК $h_{\text{ДВК}}^*$ на примере одной зубчатой пары.

2. В результате расчетов были выявлены исходные контуры с недопустимыми качественными показателями.

3. По полученным данным были построены графики блокирующих контуров в системе координат k и α , отображающие область допустимых параметров эвольвутной передачи, а также характер изменения качественных показателей.

4. Анализ блокирующего контура позволяет как выбирать из существующих профилей работоспособный, так и очерчивать тенденции к назначению параметров исходного контура при синтезе новых рациональных эвольвутных передач.

Список литературы: 1. Павлов А.И. Современная теория зубчатых зацеплений. – Харьков: ХНАДУ, 2005. – 100с. 2. Павлов А.И. Эвольвутное зацепление и его характеристики // Вестник НТУ "ХПИ": Сб. научн. трудов. – Харьков, 2003. – Вып.5. – С.103-106. 3. Протасов Р.В., Устиненко А.В., Кротенко Г.А. Моделирование геометрии эвольвутных зацеплений, исследование их некоторых качественных показателей и контактных напряжений // Вестник НТУ "ХПИ": Сб. научн. трудов. Тем. вып. "Машиноведение и САПР". – Харьков, 2012. – №22. – С.106-116. 4. Болотовская Т.П., Болотовский И.А., Смирнов В.Э. Справочник по корректированию зубчатых колес. – М.: Машизгиз, 1962. – 215с. 5. Протасов Р.В., Устиненко А.В., Сериков В.И. Исследование коэффициента перекрытия эвольвутных передач // Вестник НТУ "ХПИ". Тем. вып. "Проблемы механического привода". – 2011. – №29. – С.154-164. 6. Протасов Р.В., Устиненко А.В. Построение переходной кривой зубьев эвольвутных передач // Вестник НТУ "ХПИ": Сб. научн. трудов. Тем. вып. "Проблемы механического привода". – Харьков, 2010. – №27. – С.148-153. 7. Протасов Р.В. Исследование приведенного радиуса кривизны зубьев эвольвутных передач // Механіка та маши-

УДК 621.833

Исследование области рационального существования эволютного зацепления / Р.В. Протасов, А.В. Устиненко // Вісник НТУ "ХПІ". Серія: Проблеми механічного приводу. – Х.: НТУ "ХПІ". – 2013. – №41(1014). – С.120-124. – Бібліогр.: 7 назв.

Розглянуто залежність між параметрами вихідного контуру еволютного зачеплення (k , α) та основними якісними показниками. Побудовано області, які обмежують вибір k і α для передач з певними числами зубів. Визначено зони з низькими якісними показниками і межі (існування) працездатних передач. Аналіз загального отриманих результатів дозволяє визначити тенденції до призначення параметрів вихідного контуру для синтезу нових раціональних еволютних передач.

Ключові слова: еволютне зачеплення, якісні показники, блокуючий контур.

The dependence between the parameters of the initial contour for evolute gear (k , α) and key quality indicators was considered. The area, restricting the choice of k and α for gears with certain numbers of teeth was built. The zones of low quality parameters and boundaries of workable gears were defined. Analysis of results to determine the trend in the value of the initial contour parameters for the synthesis of new rational evolute gears.

Keywords: evolute gearing, quality indicators, blocking contour.